



GOBIERNO
DE ESPAÑA

MINISTERIO
DE AGRICULTURA Y PESCA,
ALIMENTACIÓN Y MEDIO AMBIENTE



CONFEDERACIÓN
HIDROGRÁFICA
DEL EBRO

2016

ESTABLECIMIENTO DE UNA METODOLOGÍA PARA EL SEGUIMIENTO DEL POTENCIAL ECOLÓGICO VS. ESTADO TRÓFICO DE LOS EMBALSES DE LA CUENCA DEL EBRO

INFORME FINAL DEL EMBALSE DE PAJARES



**ÁREA DE CALIDAD DE AGUAS
CONFEDERACIÓN HIDROGRÁFICA DEL EBRO**



MINISTERIO
DE AGRICULTURA Y PESCA,
ALIMENTACIÓN Y MEDIO AMBIENTE

CONFEDERACIÓN
HIDROGRAFICA
DEL EBRO



ESTABLECIMIENTO DE UNA METODOLOGÍA PARA EL SEGUIMIENTO DEL POTENCIAL ECOLÓGICO VS. ESTADO TRÓFICO DE LOS EMBALSES DE LA CUENCA DEL EBRO

PROMOTOR:



CONFEDERACIÓN HIDROGRÁFICA DEL EBRO

SERVICIO:

CONTROL DEL ESTADO ECOLÓGICO

DIRECCIÓN DEL PROYECTO:

Vicente Sancho Tello Valls y María José Rodríguez Pérez

EMPRESA CONSULTORA:

Instituto Cavanilles de Biodiversidad y Biología Evolutiva de la Universidad de Valencia Estudi General

EQUIPO DE TRABAJO:

Área de Limnología, dirigida por Dr. Eduardo Vicente Pedrós, Catedrático de Ecología. Director del Estudio.

PRESUPUESTO DE LA ADJUDICACIÓN:

89.000,00 €

CONTENIDO:

INFORME INDIVIDUAL DEL EMBALSE DE PAJARES

AÑO DE EJECUCIÓN:

2016

FECHA ENTREGA:

DICIEMBRE 2016



REFERENCIA IMÁGENES PORTADA:

Vista de la presa del embalse de Pajares desde el punto de toma de muestras.

CITA DEL DOCUMENTO: Confederación Hidrográfica del Ebro (2016). Establecimiento de una metodología para el seguimiento del potencial ecológico vs. estado trófico de los embalses de la cuenca del Ebro. 212 págs. más anejos. Disponible en PDF en la web: <http://www.chebro.es>

El presente informe pertenece al Dominio Público en cuanto a los Derechos Patrimoniales recogidos por el Convenio de Berna. Sin embargo, se reconocen los Derechos de los Autores y de la Confederación Hidrográfica del Ebro a preservar la integridad del mismo, las alteraciones o la realización de derivados sin la preceptiva autorización administrativa con fines comerciales, o la cita de la fuente original en cuanto a la infracción por plagio o colusión. A los efectos prevenidos, las autorizaciones para uso no científico del contenido deberán solicitarse a la Confederación Hidrográfica del Ebro.



ÍNDICE

	Página
1. INTRODUCCIÓN.....	7
2. DESCRIPCIÓN GENERAL DEL EMBALSE Y DE LA CUENCA VERTIENTE.....	7
2.1. <i>Ámbito geológico y geográfico</i>	7
2.2. <i>Características morfométricas e hidrológicas</i>	8
2.3. <i>Usos del agua</i>	9
2.4. <i>Registro de zonas protegidas.....</i>	9
3. TRABAJOS REALIZADOS	10
4. DIAGNÓSTICO DE LA SITUACIÓN ACTUAL.....	11
4.1. <i>Características fisicoquímicas de las aguas</i>	11
4.2. <i>Hidroquímica del embalse.....</i>	14
4.3. <i>Fitoplancton y concentración de clorofila</i>	15
4.4. <i>Zooplancton.....</i>	19
5. DIAGNÓSTICO DEL GRADO TRÓFICO	20
6. DIAGNÓSTICO DEL POTENCIAL ECOLÓGICO	22

ANEXO I. REPORTAJE FOTOGRÁFICO



ÍNDICE DE FIGURAS Y TABLAS

ÍNDICE DE FIGURAS CORRESPONDIENTES A GRÁFICOS Y FOTOS

Figura 1. Volumen embalsado y salida durante el año hidrológico 2015-2016	9
Figura 2. Localización de la estación de muestreo en el embalse.....	10
Figura 3. Perfil vertical de la temperatura y pH	11
Figura 4. Perfil vertical de la extinción luminosa y oxígeno disuelto	12
Figura 5. Perfil vertical de la conductividad	13
Figura 6. Perfil vertical de la clorofila a.....	16
Figura 7. Fotografía de la presa del embalse	28
Figura 8. Fotografía del punto de acceso al embalse	28

ÍNDICE DE TABLAS

Tabla 1. Características morfométricas del embalse de Pajares	8
Tabla 2. Estructura y composición de la comunidad de fitoplancton.....	15
Tabla 3. Composición detallada de la comunidad de fitoplancton.....	16
Tabla 4. Estructura y composición de la comunidad de zooplancton.....	19
Tabla 5. Composición detallada de la comunidad de zooplancton.....	20
Tabla 6. Parámetros indicadores y rangos de estado trófico.	21
Tabla 7. Diagnóstico del estado trófico del embalse de Pajares.	21
Tabla 8. Parámetros y rangos para la determinación del potencial ecológico experimental.	22
Tabla 9. Combinación de los indicadores.	23
Tabla 10. Diagnóstico del potencial ecológico del embalse de Pajares.	23
Tabla 11. Valores de referencia propios del tipo (VR_t) y límites de cambio de clase de potencial ecológico de los indicadores de los elementos de calidad de embalses (RD 817/2015).	24
Tabla 12. Parámetros, rangos del RCE y valores para la determinación del potencial ecológico normativo.	25
Tabla 13. Combinación de los indicadores.	25
Tabla 14. Diagnóstico del potencial ecológico (PE_{norm}) del embalse de Pajares.	26

1. INTRODUCCIÓN

El presente documento recoge los resultados de los trabajos realizados en el embalse de Pajares durante los muestreos de 2016 y la interpretación de los mismos, a efectos de proporcionar una referencia que facilite la consulta y explotación de la información obtenida.

En general, se recurre a presentaciones gráficas y sintéticas de la información, acompañadas de un texto conciso, lo que permitirá una consulta ágil y rápida del documento.

En el **Anexo I** se presenta un reportaje fotográfico que refleja el estado del embalse durante el periodo estudiado (verano de 2016, correspondiente al año hidrológico 2015-2016).

En apartados sucesivos se comentan los siguientes aspectos:

- Resultados del estudio en el embalse (FASE DE CARACTERIZACIÓN) de todos los aspectos tratados (hidrológicos, fisicoquímicos y biológicos), que culminan en el diagnóstico del grado trófico.
- Clasificación del “Potencial Ecológico experimental”, tras la aplicación de los indicadores biológicos, propuestos en la MEMORIA DEL ESTUDIO, y fisicoquímicos, propuestos en la Directiva Marco del Agua.
- Clasificación del “Potencial Ecológico normativo”, tras la aplicación de los indicadores biológicos y fisicoquímicos propuestos en la Directiva Marco del Agua.

2. DESCRIPCIÓN GENERAL DEL EMBALSE Y DE LA CUENCA VERTIENTE

2.1. Ámbito geológico y geográfico

En geología, la cuenca del embalse de Pajares, presenta materiales del grupo Urbión con limonitas, areniscas e intercalaciones de calizas arenosas; y grupo Oncala con calizas arenosas, margas, arenitas y limolitas pertenecientes al Sistema Cretácico, Serie Inferior. Aparecen también materiales del Cuaternario como: aluviales de gravas con matriz arenarcillosa, arenas, limos y arcillas.



La presa de Pajares se sitúa dentro del término municipal de Lumbreras, en la provincia de La Rioja. Regula las aguas del río Iregua.

2.2. Características morfométricas e hidrológicas

Se trata de un embalse de moderadas dimensiones.

La cuenca vertiente al embalse de Pajares tiene una superficie de cuenca de escorrentía directa de 97,85 km².

El embalse tiene una capacidad total de 35 Hm³. Caracterizado por una profundidad media de 19 m. y una profundidad máxima de 61 m.

En la tabla 1 se presentan las características morfométricas del embalse.

Tabla 1. Características morfométricas del embalse de Pajares

Superficie de la cuenca	98 km ²
Capacidad total N.M.N.	35,29 Hm ³
Capacidad útil	34,83 Hm ³
Aportación media anual	54,35 Hm ³
Superficie inundada	162 ha
Cota máximo embalse normal	1288 msnm

Tipo de clasificación: 1. Monomictico, silíceo, de zona húmeda, perteneciente a ríos de cabecera y tramo alto, con temperatura media anual menor de 15 °C.

Se trata de un embalse monomictico, típico de zonas templadas. La termoclina en el periodo estival se sitúa entorno entre los 6 y 13 metros de profundidad y el límite inferior de la capa fótica en verano se encuentra alrededor de los 11 metros de profundidad según la medida de PAR, pues el valor obtenido con el disco de Secchi es de 14,0 m.

El tiempo de residencia hidráulica media en el embalse de Pajares para el año hidrológico 2015-2016 fue de 5,80 meses.

En la figura 1 se presentan los valores diarios del volumen embalsado y salida media correspondientes al año hidrológico 2015-2016.

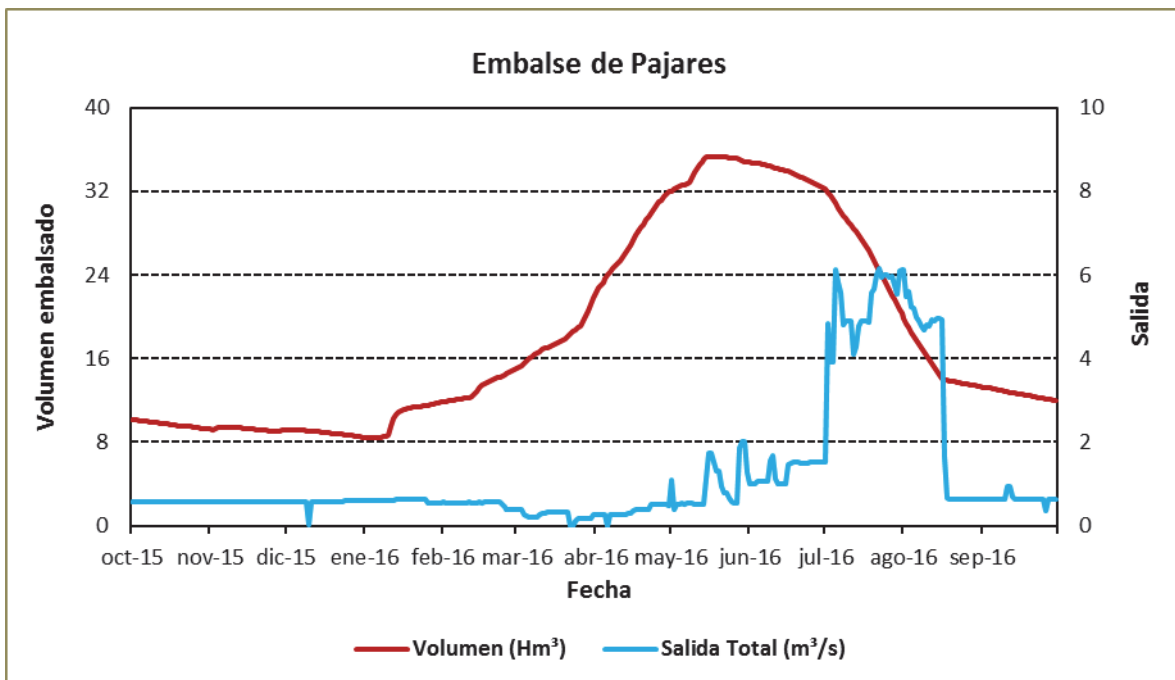


Figura 1. Volumen embalsado y salida durante el año hidrológico 2015-2016.

2.3. Usos del agua

El uso de las aguas del embalse es principalmente regadíos, abastecimiento humano y aprovechamiento hidroeléctrico. También el uso recreativo del embalse es significativo, permitiéndose la pesca (coto de Pajares).

2.4. Registro de zonas protegidas

El embalse de Pajares forma parte del Registro de Zonas Protegidas elaborado por la Confederación Hidrográfica del Ebro, en contestación al artículo 6 de la Directiva Marco del Agua, en la categoría de zonas de protección de hábitat o especie (Punto Red Natura 2000: ZEPA y LIC ES0000067, "Sierras de Demanda, Urbión, Cebollera y Cameros").



3. TRABAJOS REALIZADOS

Para acometer la caracterización del embalse se ha ubicado una estación de muestreo en las inmediaciones de la presa (ver figura 2). Se ha completado una campaña de muestreo el 25 de Julio de 2016, en la que se midieron *in situ* los parámetros fisicoquímicos y la transparencia en la columna de agua, se tomó una muestra de agua integrada y otras puntuales para los análisis químicos y se realizaron muestreos de fitoplancton y zooplancton.

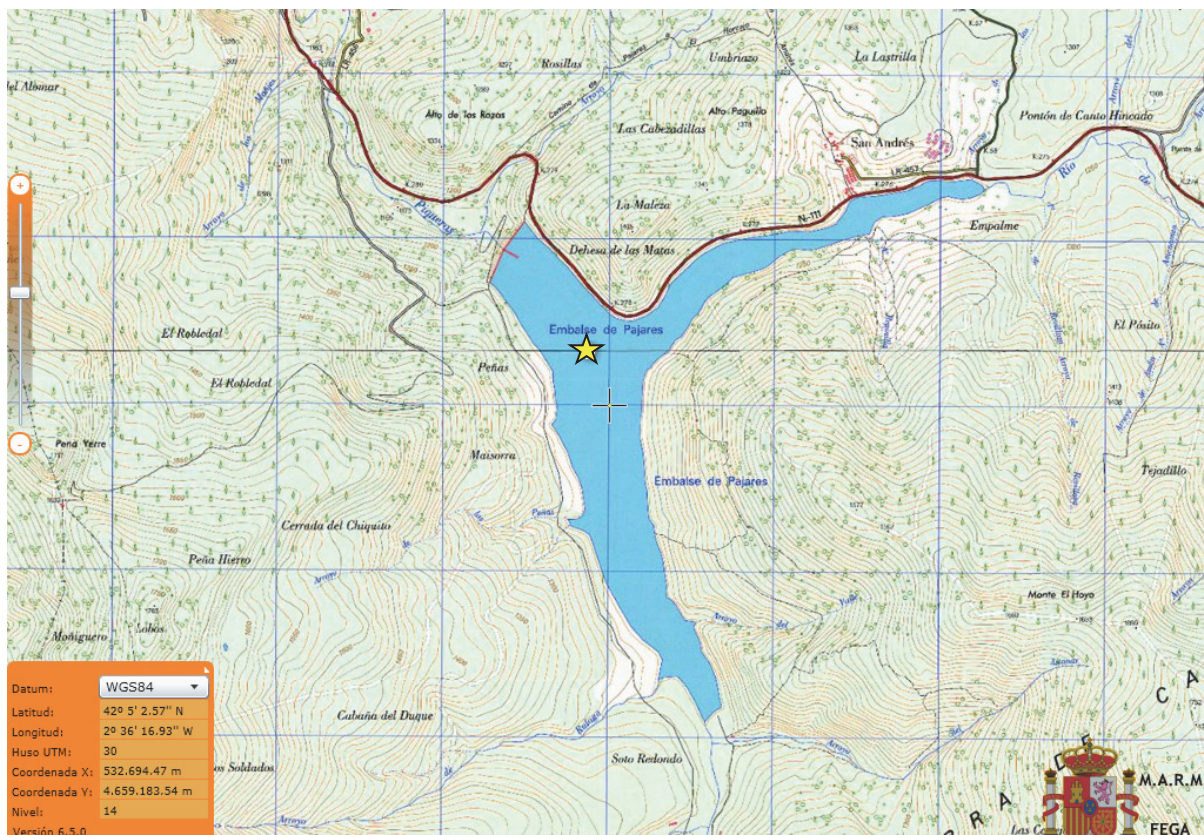
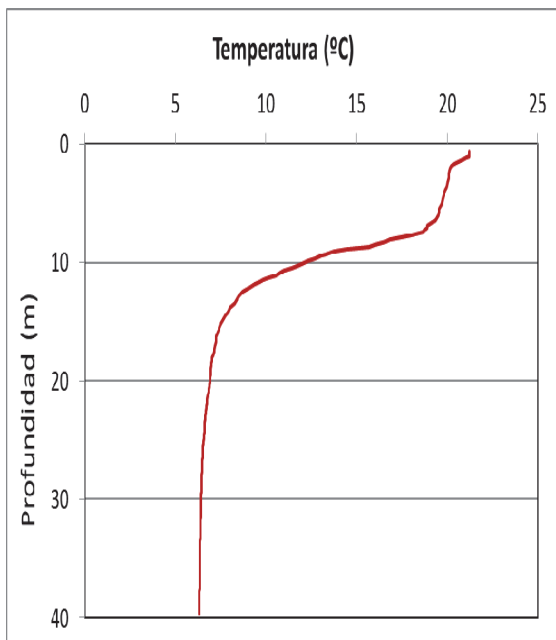


Figura 2. Localización de la estación de muestreo en el embalse.

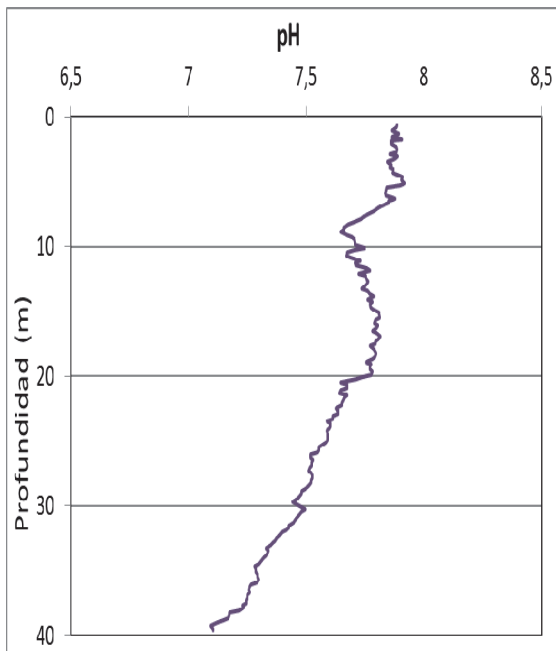
4. DIAGNÓSTICO DE LA SITUACIÓN ACTUAL

4.1. Características fisicoquímicas de las aguas

De los resultados obtenidos se desprenden las siguientes apreciaciones:

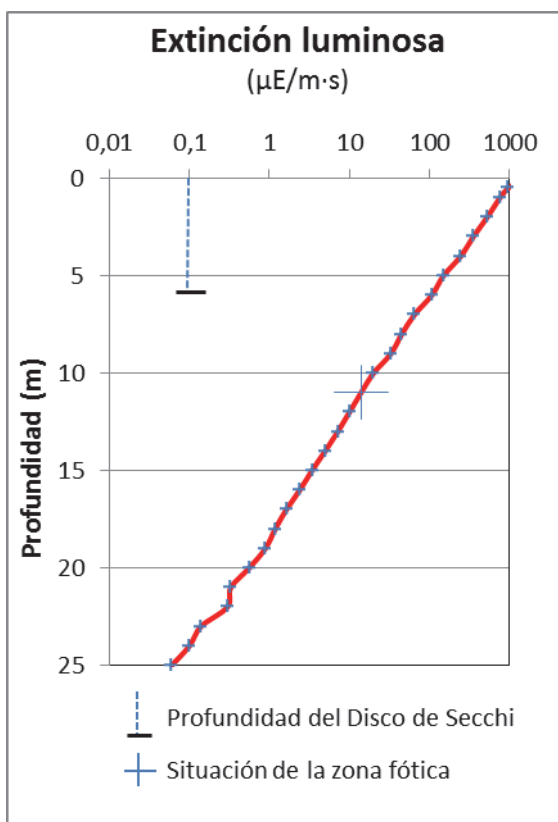


La temperatura del agua oscila entre los 6,32 °C – en el fondo- y los 21,22 °C -máximo registrado en superficie-. En el momento del muestreo (Julio 2016) la termoclinia se sitúa entre los 6 y 13 m de profundidad.



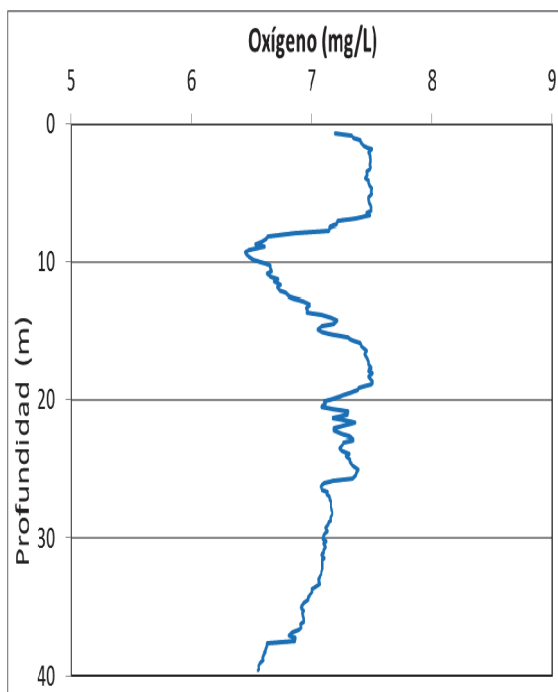
El pH del agua en la superficie es de 7,89. En el fondo del embalse el valor del pH es de 7,10.

Figura 3. Perfil vertical de la temperatura y pH.



La transparencia del agua registrada en la lectura de disco de Secchi es de 5,6 m, lo que supone una profundidad de la capa fótica de 14,0 metros. Mucho mayor que la medición mediante célula fotoeléctrica, que indica una profundidad de la capa fótica de 11 m.

La turbidez media de la zona eufótica (muestra integrada de 11 m de profundidad) fue de 1,58 UAF.



Las condiciones de oxigenación de la columna de agua en el epilimnion alcanzan en el muestreo una concentración media de 7,45 mg/L. La concentración media alcanzada en el hipolimnion es de 7,06 mg/L. No se han detectado condiciones anóxicas (<2 mg O₂/L).

Figura 4. Perfil vertical de la extinción luminosa y oxígeno disuelto.

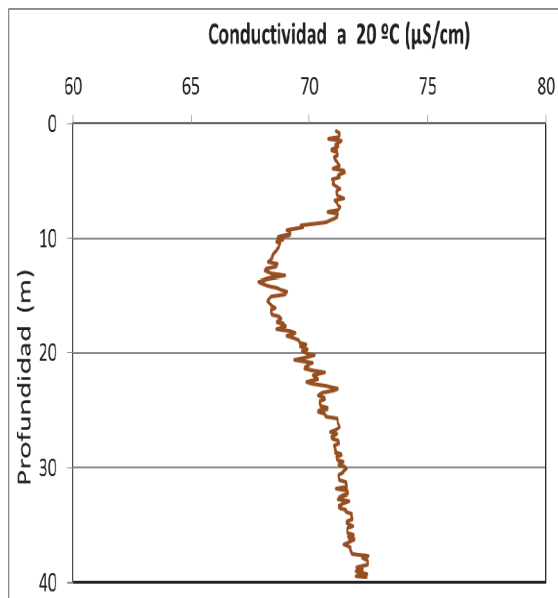


Figura 5. Perfil vertical de la conductividad.

La conductividad del agua es de 71 $\mu\text{S}/\text{cm}$ en la superficie y de 72 $\mu\text{S}/\text{cm}$ en el fondo del embalse. El mínimo metalimnético se encuentra a 13,8 m de profundidad con un valor de 67 $\mu\text{S}/\text{cm}$.



4.2. Hidroquímica del embalse

De los resultados analíticos obtenidos en la campaña de 2016 en la muestra integrada, se desprenden las siguientes apreciaciones:

- La concentración de fósforo total (PT) en la muestra integrada (zona fótica) fue de 4,36 µg P/L.
- La concentración de P soluble resultó ser de 0,34 µg P/L.
- La concentración de nitrógeno total (NT) fue de 0,22 mg N/L.
- La concentración de nitrógeno inorgánico oxidado (nitrato + nitrito, NIO) tomó un valor de 0,03 mg N/L.
- La concentración de amonio (NH_4) fue 0,01 mg NH_4 /L.
- La concentración de sílice tomó un valor de 3,21 mg SiO_2 /L.
- La alcalinidad en este embalse (zona fótica) fue de 0,56 meq/L.



4.3. Fitoplancton y concentración de clorofila

En el análisis de fitoplancton se han identificado un total de 27 especies, distribuidas en los siguientes grupos taxonómicos:

BACILLARIOPHYCEAE	3
CHRYSTOPHYCEAE	3
SYNUROPHYCEAE	2
CHLOROPHYCEAE	10
CYANOBACTERIA	1
CRYPTOPHYCEAE	5
DINOPHYCEAE	3

La estructura de la comunidad de fitoplancton se resume en la tabla 2 y la composición detallada en la tabla 3.

Tabla 2. Estructura y composición de la comunidad de fitoplancton.

PARÁMETRO	UNIDAD	VALOR
Nº CÉLULAS TOTALES	nº cel./ml	728
BIOVOLUMEN TOTAL	µm ³ /ml	346499
Diversidad Shannon-Wiener		3,23
CLASE PREDOMINANTE (DENSIDAD)		Cryptophyceae
Nº células/ml		333
ESPECIE PREDOMINANTE (DENSIDAD)		<i>Plagioselmis (=Rhodomonas) lacustris</i>
Nº células/ml		249
CLASE PREDOMINANTE (BIOVOLUMEN)		Cryptophyceae
µm ³ /ml		131847
ESPECIE PREDOMINANTE (BIOVOLUMEN)		<i>Gymnodinium uberrimum</i>
µm ³ /ml		109416



La concentración de clorofila fue de 2,32 µg/L en la muestra integrada, cuya profundidad se ha señalado en la figura 6 con una línea roja.

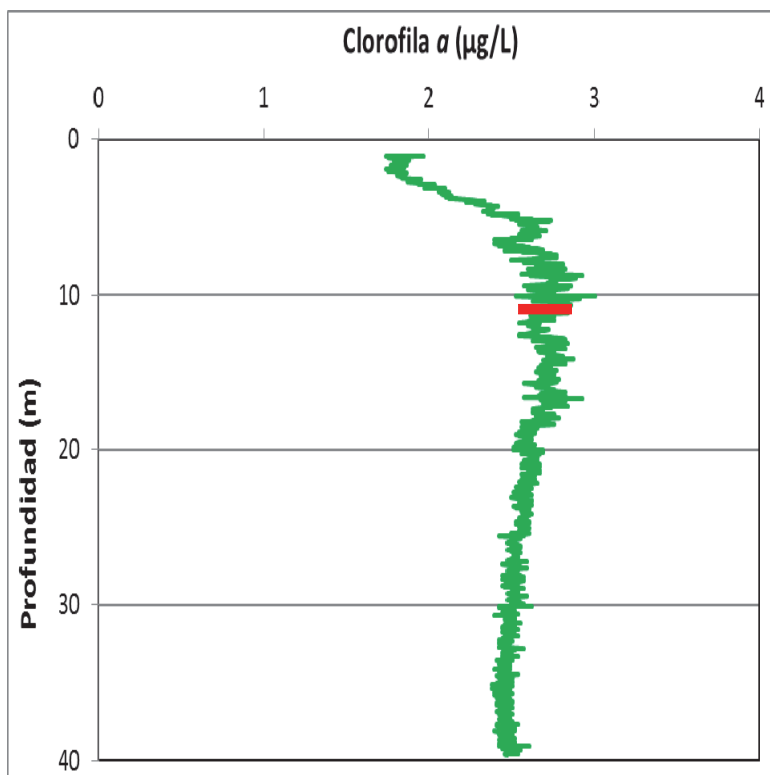


Figura 6. Perfil vertical de la clorofila a.

La composición de la población fitoplanctónica de la muestra integrada de la zona fótica indicando su abundancia y biovolumen, y la densidad cualitativa de la muestra integrada de fitoplancton del muestreo vertical con red de plancton, se muestran en la tabla siguiente:

Tabla 3. Composición detallada de la comunidad de fitoplancton.

COD_EMB_LW	COMPOSICIÓN	ABUNDANCIA	BIOVOLUMEN	CUALITATIVO		
				cel./ml	µm ³ /ml	(1 al 5)
	BACILLARIOPHYCEAE/CENTRALES/					
AULAAMBI0	<i>Aulacoseira ambigua</i>					2
CYCLRADIO0	<i>Cyclotella radiosa</i> (= <i>Lindavia radiosa</i>)	7,09	16589,58			2
	BACILLARIOPHYCEAE /PENNALES/					
ACHNMINU0	<i>Achnanthidium minutissimum</i> (= <i>Achnanthes minutissima</i>)					1
ASTEFORM0	<i>Asterionella formosa</i>	23,62	8927,52			4
FRAGCROTO0	<i>Fragilaria crotonensis</i>					1
NITZPALE0	<i>Nitzschia palea</i>	0,46	181,40			
NITZSIGO0	<i>Nitzschia sigmaidea</i>					1
	CHRYSTOPHYCEAE					



COD_EMB_LW	COMPOSICIÓN	ABUNDANCIA	BIOVOLUMEN	CUALITATIVO
				cél./ml µm³/ml (1 al 5)
CHRYOGEN0	<i>Chrysochromulina</i> sp.	5,90	188,94	
DINOBAVA0	<i>Dinobryon bavaricum</i>	4,72	822,97	2
KEPHLITTO	<i>Kephyrion littorale</i>	12,99	652,94	
STICDOED0	<i>Stichogloea doederleinii</i>			2
	SYNUROPHYCEAE			
MALLOVIFO	<i>Mallomonas oviformis</i> (= <i>Mallomonopsis oviformis</i>)	16,53	42849,02	2
MALLTONS0	<i>Mallomonas tonsurata</i>	9,45	2164,09	1
	CHLOROPHYTA			
COENHIND0	<i>Coenochloris hindakii</i>	49,60	1662,02	2
CRUCTETR0	<i>Crucigenia tetrapedia</i>	18,89	1360,38	
CRUGPULC0	<i>Crucigeniella pulchra</i>			2
CHLOGLAR0	<i>Chlorolobion glareosum</i>	7,09	185,49	
DACTSOCI0	<i>Dactylosphaerium sociale</i>			1
DIDYFINA0	<i>Didymocystis fina</i>	2,36	24,73	
ELAKGELA0	<i>Elakatothrix gelatinosa</i>			1
LOBOPLAN0	<i>Lobocystis plantonica</i> (= <i>Dictyosphaerium palnctonicum</i>)	0,92	96,21	
MONOARCU0	<i>Monoraphidium arcuatum</i>	1,18	34,78	
OOCYLACU0	<i>Oocystis lacustris</i>	2,36	138,50	2
OOCYMARS0	<i>Oocystis marssonii</i>	3,54	801,33	2
PEDINGEN0	<i>Pedinomonas</i> sp.	4,72	59,36	
SPHAPLAN0	<i>Sphaerocystis plantonica</i>	66,13	7479,10	
	ZYGONEMATOPHYCEAE			
STAULUNA0	<i>Staurastrum lunatum</i>			1
STAUCUSP0	<i>Stauromesmus cuspidatus</i>			2
	CYANOBACTERIA			
APHAHOLS0	<i>Aphanocapsa holsatica</i>			2
APHASGEN0	<i>Aphanocapsa</i> sp.	147,61	77,29	
	CRYPTOPHYCEAE			
CRYPEROS0	<i>Cryptomonas erosa</i>	33,99	81256,24	
CRYPMARS0	<i>Cryptomonas marsonii</i>	37,21	21197,75	1
CRYPOVATO0	<i>Cryptomonas ovata</i>	6,43	8964,21	1
PLAGLACU0	<i>Plagioselmis</i> (= <i>Rhodomonas</i>) <i>lacustris</i>	249,17	20113,18	1
PLAGNANN0	<i>Plagioselmis nannoplantica</i> (= <i>Rhodomonas lacustris</i> var. <i>nannoplantica</i>)	7,09	316,58	
	DINOPHYCEAE			
CERAHIRU0	<i>Ceratium hirundinella</i>	0,46	20093,52	1
GYMNUBER0	<i>Gymnodinium uberrimum</i>	8,27	109416,50	2
KATODGEN0	<i>Katodinium</i> sp.	1,18	845,85	



COD_EMB_LW	COMPOSICIÓN	ABUNDANCIA	BIOVOLUMEN	CUALITATIVO
	FITOPLANCTON	cél./ml	µm³/ml	(1 al 5)
	TOTALES BACILLARIOPHYCEAE	31,16	25698,50	
	TOTALES CHRYSOPHYCEAE	23,62	1664,85	
	TOTALES SYNUROPHYCEAE	25,98	45013,12	
	TOTALES CHLOROPHYTA	156,80	11841,92	
	TOTALES CYANOBACTERIA	147,61	77,29	
	TOTALES CRYPTOPHYCEAE	333,89	131847,95	
	TOTALES DINOPHYCEAE	9,91	130355,87	
	TOTALES ALGAS	728,96	346499,50	

Nota: Entre paréntesis se cita el anterior nombre de la especie.

Clases de abundancia	% de presencia
1	<9
2	10-24
3	25-60
4	61-99
5	>99



4.4. Zooplancton

En el análisis de zooplancton de las muestras del embalse de Pajares se han identificado un total de 12 especies, distribuidas en los siguientes grupos taxonómicos:

- 2 Cladocera
- 2 Copepoda
- 8 Rotifera

La estructura y composición de la comunidad de zooplancton se resume en la tabla 4:

Tabla 4. Estructura y composición de la comunidad de zooplancton.

PARÁMETRO	UNIDAD	VALOR
PROFUNDIDAD	m	8,0
DENSIDAD TOTAL	individuos/L	125,96
BIOMASA TOTAL	µg/L	63,81
Diversidad Shannon-Wiener		2,92
CLASE PREDOMINANTE (DENSIDAD)		Rotíferos
individuos/L		99,62
ESPECIE PREDOMINANTE (DENSIDAD)		<i>Polyarthra dolichoptera</i>
individuos/L		45,08
CLASE PREDOMINANTE (BIOMASA)		Cladóceros
µg/L		14,62
ESPECIE PREDOMINANTE (BIOMASA)		<i>Daphnia longispina</i>
µg/L		44,58
COLUMNAS AGUA INTEGRADA (red vertical)		0 - 30 m
CLADÓCEROS: 10,42 %	COPÉPODOS: 8,68 %	ROTÍFEROS: 80,90 %



La composición detallada de la población zooplanctónica presente en la muestra cuantitativa de zooplancton indicando la densidad y biomasa, y el porcentaje de las especies presentes en la muestra integrada de la red vertical, se muestran en la tabla 5:

Tabla 5. Composición detallada de la comunidad de zooplancton.

CÓDIGO	COMPOSICIÓN	ABUNDANCIA	BIOMASA	PORCENTAJE
TAXÓN	ZOOPLANCTON	Ind./L	mg/L	%
	CLADÓCEROS			
BOSMLONG0	<i>Bosmina longirostris</i>	0,38	0,50	6,94
DAPHLONG0	<i>Daphnia longispina</i>	11,73	44,58	3,47
	COPÉPODOS			
CYCLABYS0	<i>Cyclops abyssorum</i>	0,38	0,96	1,74
CYCLOPFAM	Ciclópido	13,85	3,46	6,94
	ROTÍFEROS			
ASPLPRIO0	<i>Asplanchna priodonta</i>	0,96	0,72	0,87
CONONATA0	<i>Conochilus natans</i>	6,15	0,62	6,94
KERACOCH0	<i>Keratella cochlearis</i>	24,62	1,23	19,10
PLOEHUDS0	<i>Ploesoma hudsoni</i>			1,74
POLYDOLI0	<i>Polyarthra dolichoptera</i>	26,15	1,33	32,99
POLYMAJ00	<i>Polyarthra major</i>	16,92	2,20	6,94
SYNCLONG0	<i>Synchaeta longipes</i>	4,62	1,53	5,21
SYNCPECT0	<i>Synchaeta pectinata</i>	20,00	6,65	6,94
SYNCSTYL0	<i>Synchaeta stylata</i>	0,19	0,02	0,17
	Total Cladóceros	12,12	45,08	10,42
	Total Copépodos	14,23	4,42	8,68
	Total Rotíferos	99,62	14,31	80,90
	Total	125,96	63,81	100



5. DIAGNÓSTICO DEL GRADO TRÓFICO

Se han considerado los indicadores especificados en la tabla 6, estableciéndose el estado trófico global del embalse según la metodología descrita en la sección 5 de la MEMORIA DEL ESTUDIO.

Tabla 6. Parámetros indicadores y rangos de estado trófico.

Parámetros Estado Trófico	Ultraoligotrófico	Oligotrófico	Mesotrófico	Eutrófico	Hipereutrófico
Concentración P ($\mu\text{g P/L}$)	0-4	4-10	10-35	35-100	>100
Disco de Secchi (m)	>6	6-3	3-1,5	1,5-0,7	<0,7
Clorofila a ($\mu\text{g/L}$) epilimnion	0-1	1-2,5	2,5-8	8,0-25	>25
Densidad algal (cel./ml)	<100	100-1000	1000-10000	10000-100000	>100000
VALOR PROMEDIO FINAL	< 1,8	1,8 – 2,6	2,6 – 3,4	3,4 – 4,2	> 4,2

En la tabla 7 se incluye el estado trófico indicado por cada uno de los parámetros, así como la catalogación de la masa de agua según la valoración de este estado trófico final.

Tabla 7. Diagnóstico del estado trófico del embalse de Pajares.

INDICADOR	VALOR	ESTADO TRÓFICO
P TOTAL	4,36	Oligotrófico
CLOROFILA a	2,32	Oligotrófico
DISCO SECCHI (DS)	5,60	Oligotrófico
DENSIDAD ALGAL	729	Oligotrófico
ESTADO TRÓFICO FINAL	2,0	OLIGOTRÓFICO

Atendiendo a todos de los criterios seleccionados, (fósforo total (PT), concentración de clorofila a, transparencia (DS) y densidad algal) clasifican el embalse como oligotrófico. Combinando todos los indicadores el estado trófico final para el embalse de PAJARES ha resultado ser **OLIGOTRÓFICO**.



6. DIAGNÓSTICO DEL POTENCIAL ECOLÓGICO

a) Aproximación experimental (*PEexp*)

Se han considerado los indicadores especificados en la tabla 8, estableciéndose el potencial ecológico del embalse según la metodología descrita en la sección 6.3, apartado a) de la MEMORIA DEL ESTUDIO.

Tabla 8. Parámetros y rangos para la determinación del potencial ecológico experimental.

Indicador	Elementos	Parámetros	Bueno o superior	Moderado	Deficiente	Malo	
Biológico	Fitoplancton	Densidad algal (cel/ml)	< 10 ³	10 ³ -10 ⁴	10 ⁴ -10 ⁵	>10 ⁵	
		Biomasa algal, Clorofila a (µg/L)	< 2,5	2,5-8	8,0-25	>25	
		Biovolumen algal (mm ³ /L)	< 0,5	0,5-2	2-8	>8	
		<i>Phytoplankton Assemblage Index (Q)</i>	> 3	2-3	1-2	<1	
		<i>Trophic Index (TI)</i>	< 2,79	2,79-3,52	3,52-4,25	>4,25	
		<i>Phytoplankton Trophic Index (PTI)</i>	> 3,4	2,6-3,4	1,8-2,6	<1,8	
		<i>Phytoplankton Reservoir Trophic Index (PRTI)</i>	< 6,6	6,6-9,4	9,4-12,2	>12,2	
	Zooplancton	<i>Zooplankton Reservoir Trophic Index (ZRTI)</i>	< 6,6	6,6-9,4	9,4-12,2	>12,2	
INDICADOR BIOLÓGICO (1)			< 2,6	2,6 - 3,4	3,4 – 4,2	> 4,2	
Indicador	Elementos	Parámetros	Muy bueno	Bueno	Moderado	Deficiente	Malo
Fisicoquímico	Transparencia	Disco de Secchi (m)	>6	3-6	1, 5 -3	0, 7 -1,5	<0, 7
	Oxigenación	Concentración O ₂ (mg O ₂ /L)	>8	8-6	6-4	4-2	<2
	Nutrientes	Concentración de PT (µg P/L)	0-4	4-10	10-35	35-100	>100
INDICADOR FISICOQUÍMICO (2)			Muy bueno	Bueno	Moderado		
			< 1,6	1,6 – 2,4	> 2,4		

(1) La valoración del indicador biológico se obtiene asignando la calificación del elemento de menor puntuación (fitoplancton o zooplancton) o peor calidad, según la metodología *one out, all out*.

(2) La valoración del indicador fisicoquímico se obtiene asignando la calificación del elemento de menor puntuación o peor calidad, según la metodología *one out, all out*.



La combinación de los dos indicadores, fisicoquímico y biológico, para la obtención del potencial ecológico experimental final sigue el esquema de decisiones indicado en la tabla 9:

Tabla 9. Combinación de los indicadores.

Indicador Biológico	Indicador Fisicoquímico	Potencial Ecológico Experimental
Bueno o superior	Muy bueno	Bueno o superior
Bueno o superior	Bueno	Bueno o superior
Bueno o superior	Moderado	Moderado
Moderado	Indistinto	Moderado
Deficiente	Indistinto	Deficiente
Malo	Indistinto	Malo

En la tabla 10 se incluye el potencial indicado por cada uno de los parámetros e indicadores, así como la catalogación de la masa de agua según el potencial ecológico final.

Tabla 10. Diagnóstico del potencial ecológico del embalse de Pajares.

Indicador	Elementos	Parámetros	Valor	Potencial
Biológico	Fitoplancton	Densidad algal (cel./ml)	729	Bueno o superior
		Clorofila a ($\mu\text{g}/\text{L}$)	2,32	Bueno o superior
		Biovolumen algal (mm^3/L)	0,35	Bueno o superior
		<i>Phytoplankton Assemblage Index (Q)</i>	3,43	Bueno o superior
		<i>Phytoplankton Trophic Index (PTI)</i>	3,98	Bueno o superior
		<i>Trophic Index (TI)</i>	2,29	Bueno o superior
		<i>Phytoplankton Reservoir Trophic Index (PRTI)</i>	6,17	Bueno o superior
	Zooplancton	<i>Zooplankton Reservoir Trophic Index (ZRTI)</i>	6,04	Bueno o superior
INDICADOR BIOLÓGICO			2,0	BUENO O SUPERIOR
Fisicoquímico	Transparencia	Disco de Secchi (m)	5,60	Bueno
	Oxigenación	O_2 hipolimnética (mg O_2/L)	7,06	Bueno
	Nutrientes	Concentración de PT ($\mu\text{g P/L}$)	4,36	Bueno
INDICADOR FISICOQUÍMICO			2,0	BUENO
POTENCIAL ECOLÓGICO PEexp			BUENO O SUPERIOR	



b) Aproximación normativa (*PEnorm*)

Se han considerado los indicadores, los valores de referencia y los límites de clase B^{+/M} (Bueno o superior/Moderado), M/D (Moderado/Deficiente) y D/M (Deficiente/Malo), así como sus ratios de calidad ecológica (RCE), especificados en las tablas 11 y 12, estableciéndose el potencial ecológico del embalse según la metodología descrita en la sección 6.3, apartado b) de la MEMORIA DEL ESTUDIO.

Tabla 11. Valores de referencia propios del tipo (VR_t) y límites de cambio de clase de potencial ecológico de los indicadores de los elementos de calidad de embalses (RD 817/2015).

Tipo	Elemento	Parámetro	Indicador	VR _t	B ^{+/M} (RCE)	M/D (RCE)	D/M (RCE)
Tipo 1	Fitoplancton	Biomasa	Clorofila a mg/m ³	2,00	0,211	0,14	0,07
			Biovolumen mm ³ /L	0,36	0,189	0,126	0,063
		Composición	Índice de Catalán (IGA)	0,10	0,974	0,649	0,325
			Porcentaje de cianobacterias	0,00	0,908	0,607	0,303
Tipo 7	Fitoplancton	Biomasa	Clorofila a mg/m ³	2,60	0,433	0,287	0,143
			Biovolumen mm ³ /L	0,76	0,362	0,24	0,12
		Composición	Índice de Catalán (IGA)	0,61	0,982	0,655	0,327
			Porcentaje de cianobacterias	0,00	0,715	0,48	0,24
Tipo 9	Fitoplancton	Biomasa	Clorofila a mg/m ³	2,60	0,433	0,287	0,143
			Biovolumen mm ³ /L	0,76	0,362	0,24	0,12
		Composición	Índice de Catalán (IGA)	0,61	0,982	0,655	0,327
			Porcentaje de cianobacterias	0,00	0,715	0,48	0,24
Tipo 10	Fitoplancton	Biomasa	Clorofila a mg/m ³	2,60	0,433	0,287	0,143
			Biovolumen mm ³ /L	0,76	0,362	0,24	0,12
		Composición	Índice de Catalán (IGA)	0,61	0,982	0,655	0,327
			Porcentaje de cianobacterias	0,00	0,715	0,48	0,24
Tipo 11	Fitoplancton	Biomasa	Clorofila a mg/m ³	2,60	0,433	0,287	0,143
			Biovolumen mm ³ /L	0,76	0,362	0,24	0,12
		Composición	Índice de Catalán (IGA)	0,61	0,982	0,655	0,327
			Porcentaje de cianobacterias	0,00	0,715	0,48	0,24
Tipo 12	Fitoplancton	Biomasa	Clorofila a mg/m ³	2,40	0,195	0,13	0,065
			Biovolumen mm ³ /L	0,63	0,175	0,117	0,058
		Composición	Índice de Catalán (IGA)	1,50	0,929	0,619	0,31
			Porcentaje de cianobacterias	0,10	0,686	0,457	0,229
Tipo 13	Fitoplancton	Biomasa	Clorofila a mg/m ³	2,10	0,304	0,203	0,101
			Biovolumen mm ³ /L	0,43	0,261	0,174	0,087
		Composición	Índice de Catalán (IGA)	1,10	0,979	0,653	0,326
			Porcentaje de cianobacterias	0,00	0,931	0,621	0,31



Tabla 12. Parámetros, rangos del RCE y valores para la determinación del potencial ecológico normativo.

Indicador	Elementos	Parámetros	RANGOS DEL RCE				
			Bueno o superior	Moderado	Deficiente	Malo	
Biológico	Fitoplancton	Clorofila a ($\mu\text{g/L}$)	$\geq 0,433$	0,432 – 0,287	0,286 – 0,143	< 0,143	
		Biovolumen algal (mm^3/L)	$\geq 0,362$	0,361 – 0,24	0,23 – 0,12	< 0,12	
		Índice de Catalán (IGA)	$\geq 0,982$	0,981 – 0,655	0,654 – 0,327	< 0,327	
		Porcentaje de cianobacterias	$\geq 0,715$	0,714 – 0,48	0,47 – 0,24	< 0,24	
			Bueno o superior	Moderado	Deficiente	Malo	
INDICADOR BIOLÓGICO			> 0,6	0,4-0,6	0,2-0,4	< 0,2	
Indicador	Elementos	Parámetros	RANGOS DE VALORES				
			Muy bueno	Bueno	Moderado	Deficiente	
Fisicoquímico	Transparencia	Disco de Secchi (m)	>6	3-6	1, 5 -3	0, 7 -1,5	
	Oxigenación	O ₂ hipolimnética (mg O ₂ /L)	>8	8-6	6-4	4-2	
	Nutrientes	Concentración de PT ($\mu\text{g P/L}$)	0-4	4-10	10-35	35-100	
			Muy bueno	Bueno	Moderado		
INDICADOR FISICOQUÍMICO			< 1,6	1,6 – 2,4	> 2,4		

La combinación de los dos indicadores, fisicoquímico y biológico, para la obtención del potencial ecológico normativo final sigue el esquema de decisiones indicado en la tabla 13:

Tabla 13. Combinación de los indicadores.

Indicador Biológico	Indicador Fisicoquímico	Potencial Ecológico Experimental
Bueno o superior	Muy bueno	Bueno o superior
Bueno o superior	Bueno	Bueno o superior
Bueno o superior	Moderado	Moderado
Moderado	Indistinto	Moderado
Deficiente	Indistinto	Deficiente
Malo	Indistinto	Malo

En la tabla 14 se incluye el potencial indicado por cada uno de los parámetros, así como la catalogación de la masa de agua según el potencial ecológico final (*PEnorm*) tras pasar el filtro del indicador fisicoquímico.



Tabla 14. Diagnóstico del potencial ecológico (*PEnorm*) del embalse de Pajares.

Indicador	Elementos	Parámetro	Indicador	Valor	RCE	RCET	<i>PEnorm</i>
Biológico	Fitoplancton	Biomasa	Clorofila a ($\mu\text{g/L}$)	2,32	0,86	0,93	Bueno o superior
			Biovolumen algal (mm^3/L)	0,35	1,04	1,02	Bueno o superior
			Media			0,98	
		Composición	<i>Índice de Catalán (IGA)</i>	0,15	1,000	1,00	Bueno o superior
			<i>Porcentaje de cianobacterias</i>	0,00	1,00	1,00	Bueno o superior
			Media			1,00	
		Media global				0,99	
INDICADOR BIOLÓGICO						0,99	BUENO O SUPERIOR
Indicador	Elementos	Indicador		Valor			<i>PEnorm</i>
Fisicoquímico	Transparencia	Disco de Secchi (m)		5,60			Bueno
	Oxigenación	O_2 hipolimnética (mg O_2/L)		7,06			Bueno
	Nutrientes	Concentración de PT ($\mu\text{g P/L}$)		4,36			Bueno
INDICADOR FISICOQUÍMICO						2,0	BUENO
POTENCIAL ECOLÓGICO <i>PEnorm</i>							BUENO O SUPERIOR



ANEXO I. REPORTAJE FOTOGRÁFICO



Figura 7. Vista de la presa del embalse



Figura 8. Vista del punto de acceso